

## (739) チタン合金の電子論による評価 (II) 合金の特性評価

豊橋技科大 森永正彦、湯川夏夫、真屋岳良  
兵庫教育大 足立裕彦

**緒言** 新しいチタン合金の設計と開発を行なうため、まず在来の合金を評価する。本研究では特に、チタン合金の相安定性について、(I)の電子構造の計算により求めたパラメータを用いて検討する。

**方法** 原子間の結合の強さを表わすパラメーターである結合次数( $B_0$ )、および合金元素のd軌道に関係したエネルギーレベル( $M_d$ )を用いる。合金において、それらの平均値をそれぞれ以下のように、 $\bar{B}_0$ ,  $\bar{M}_d$ で定義する。

$$\bar{B}_0 = \sum X_i \cdot (B_0)_i, \\ \bar{M}_d = \sum X_i \cdot (M_d)_i.$$

ここで、 $(B_0)_i$ ,  $(M_d)_i$ はそれぞれi原子の $B_0$ ,  $M_d$ 値であり、 $X_i$ は、この原子分率である。

**結果 実用合金の分類** チタン合金は、 $\alpha$ 型(Near  $\alpha$  t 合む)、 $\alpha+\beta$ 型、および $\beta$ 型の3種に大別される。図1に示すように、在来の主要合金約40種が、 $\bar{B}_0$ - $\bar{M}_d$ 線図によって明確に分離できる。 $\bar{M}_d=2.35$ ,  $\bar{B}_0=2.78$ 近傍のNo.6の合金は、Ti-8Mnである。これは $\beta$ 型合金であるが、 $\alpha+\beta$ 領域で熱処理を行なっている合金である。この他例えば、No.9はTi-6Al-4V, No.7はTi-6Al-6Mo-2Sn-4Zr, No.13は、Ti-6Al-2Mo-2Sn-4Zrである。

図2は、Tlに他の合金元素を入れたとき、 $\bar{B}_0$ - $\bar{M}_d$ 線図の中でどの方向に進むかを示すダイヤグラムである。これと図1を比較すれば、Al, Snが $\alpha$ 相安定化元素であり、Mo, Wなどは $\beta$ 相安定化元素であることが分かる。

**$\beta$ トランザスの予測** 各種3元素Tl合金(a~i)について、 $\beta$ トランザスの整理を行なった。図3がその結果である。合金系に関係なく、 $\beta$ トランザス(973~1273K)-一定の曲線は、ほぼ同じ $\bar{B}_0$ - $\bar{M}_d$ 線図上にある。このことは、 $\bar{B}_0$ ,  $\bar{M}_d$ がbcc Tlの相安定性を記述するのに重要なパラメータであることを示唆している。合金組成より $\beta$ トランザスの予測が可能である。

**$M_s$ 点の予測** マルテンサイト温度( $M_s$ )の予測も、 $\bar{B}_0$ ,  $\bar{M}_d$ によりできる。この他 $\beta$ -Tl中の不純物元素の拡散の活性化エネルギーは、 $B_0$ と相関がある。

このように、チタン合金の特性が、 $M_d$ と $B_0$ により定量的に評価できることが判明した。

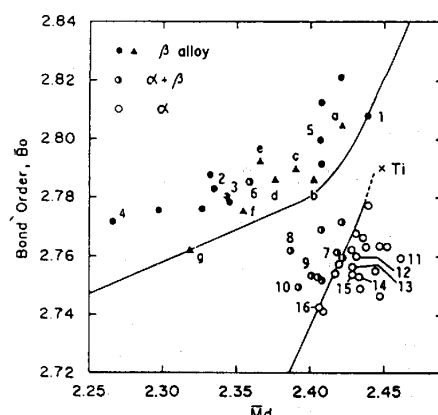


Fig.1 Classification of commercial Ti alloys in the  $\bar{B}_0$ - $\bar{M}_d$  diagram.

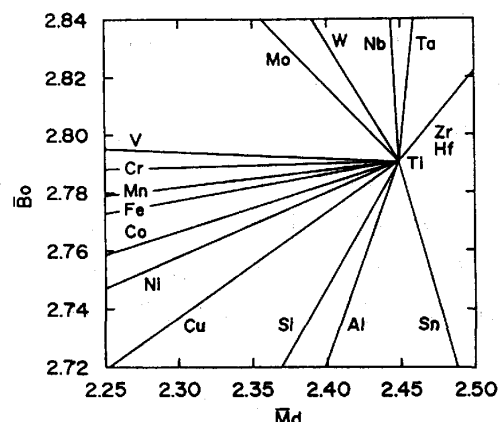


Fig.2 Location of Ti-M binary alloys in the  $\bar{B}_0$ - $\bar{M}_d$  diagram.

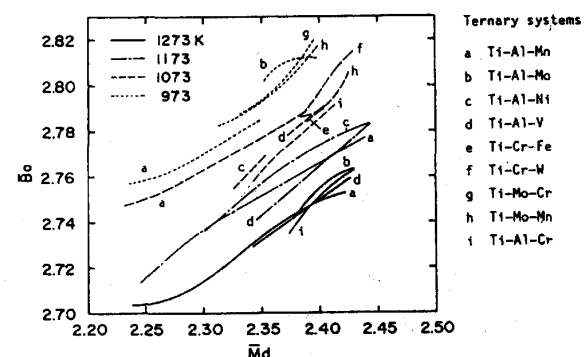


Fig.3  $\beta$ -transas curves of ternary systems (a-i) in the  $\bar{B}_0$ - $\bar{M}_d$  diagram.